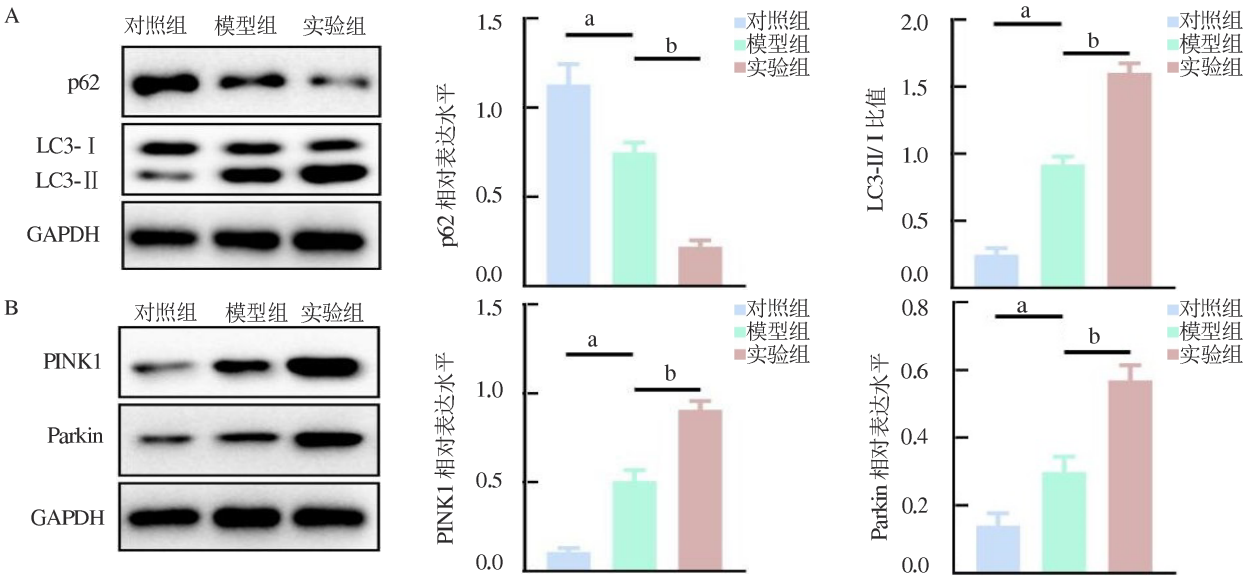
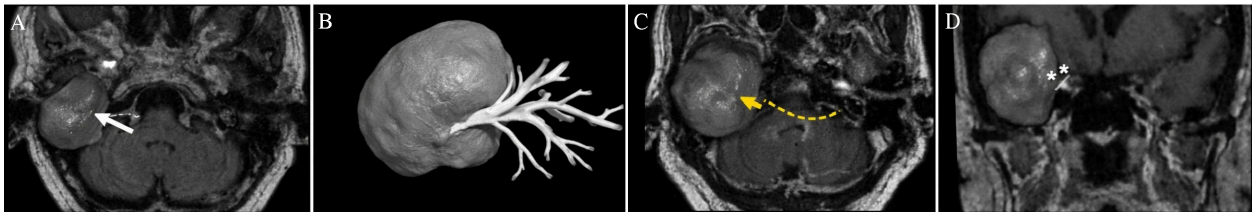
周昱彤，王喆，周梦璇，等.桑色素通过 PINK1-Parkin 通路激活线粒体自噬促进炎性创面愈合（见正文第 473 页）



注：A 为 3 组小鼠创面 p62、LC3-Ⅰ、LC3-Ⅱ 蛋白表达水平；B 为 3 组小鼠创面 PINK1、Parkin 蛋白表达水平，与对照组比较，a$P < 0.05$；与模型组比较，b$P < 0.05$

图 1　3 组小鼠创面组织自噬相关蛋白表达情况比较

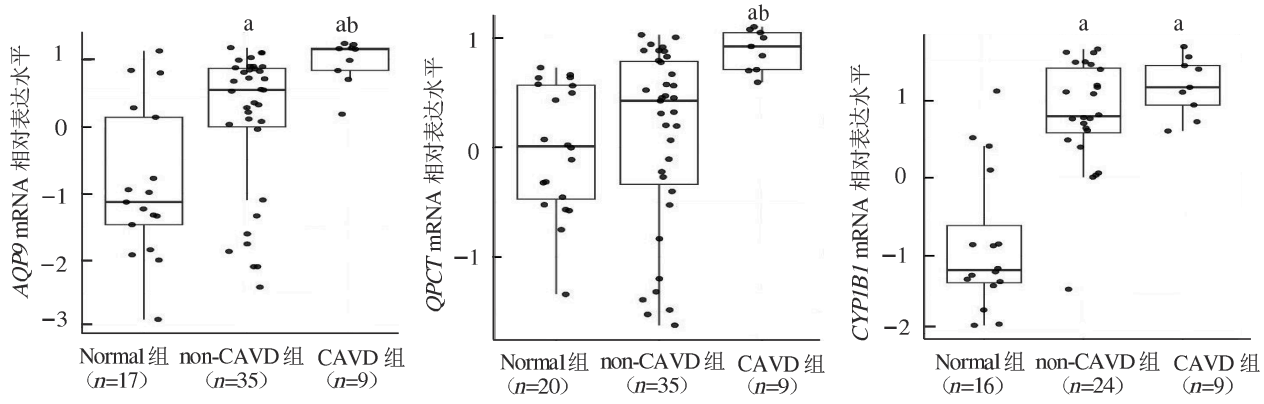
马群峰，李志茂，陈春晖.面神经三维重建联合肿瘤空间关系分析对腮腺肿瘤术中面神经损伤的风险预测价值（见正文第 489 页）



注：A、B 为实验组 3D-FIESTA 序列三维重建图像。图 A（轴位重建）清晰显示面神经主干（白色箭头）走行连续、边缘锐利，与腮腺肿瘤（灰色区域）的边界分界明确；图 B（三维融合模型）直观呈现面神经分支（白色分支状结构）与肿瘤的空间关系（推移型），分支可辨识率高。C、D 为对照组常规 MRI 图像。图 C（常规 MRI 轴位）面神经主干显示模糊（黄色虚线箭头），细节丢失；图 D（常规 MRI 冠状位）无法清晰区分面神经分支与肿瘤的毗邻关系，空间定位模糊

图 2　3D-FIESTA 序列与常规影像面神经及肿瘤-神经空间关系显示

王聪灵，王圣杰，黄晓萍，等.外周血 *AQP9*、*QPCT* 和 *CYP1B1* mRNA 表达与钙化性主动脉瓣疾病的关系（见正文第 511 页）



注：与 Normal 组（正常对照组）比较，a$P < 0.05$；与 non-CAVD 组（非钙化主动脉瓣病变组）比较，b$P < 0.05$。由于不同基因 RNA 质量及扩增效率存在差异，各基因纳入分析的标本数略有不同。*AQP9* 为水通道蛋白 9，*QPCT* 为谷氨酰肽环转移酶，*CYP1B1* 为细胞色素 P450 1B1，CAVD 为钙化性主动脉瓣疾病

图 3　3 组外周血 *AQP9*、*QPCT* 及 *CYP1B1* mRNA 表达水平比较